

مکانیسم کندن پلیمرهای آلی به وسیله لیزرهای فرابینفس وزیر قرمز

Ablation Mechanism of Organic Polymers Using UV and IR Lasers

محمد عتری خسروشاهی^۱، پیتر دایر^۲

۱- دانشگاه صنعتی امیرکبیر، دانشکده مهندسی پزشکی، ۲- دانشگاه هال انگلستان، دانشکده فزیک کاربردی

دریافت: ۷۴/۷/۲۱، پذیرش: ۷۴/۴/۲۱

چکیده

در این مقاله، فزیک برهم کش لیزر با پلیمرهای آلی و مکانیسم کندن آنان بررسی می شود. آزمایشها با استفاده از لیزرهای فرابینفس اکسایمر (ArF و KrF، XeCl) و زیر قرمز (HF و CO₂) روی پلیمرهای پلی اتیلن ترفلات و پلی ایمید انجام گرفته است. بر اساس نتایج به دست آمده کفیت کندن با لیزرهای اکسایمر، بویژه در مورد پلیمرهایی که ضربه جذب زیادی دارند، بهتر از لیزرهای زیر قرمز است.

واژه های کلیدی: پلیمرهای آلی، مکانیسم کندن، لیزرهای فرابینفس و زیر قرمز، شاریدگی، نور صوتی

Key Words: organic polymers, ablation mechanism, UV and IR lasers, fluence, photoacoustic

در حالت پایدار تبدیل می گردد و تخریب نور گرمایی پلیمر روی می دهد.

به نظر می رسد که میزان آسیب دیدگی پلیمرها پس از جذب انرژی لیزر از طریق مکانیسمی انجام می گیرد که در آن انرژی با سرعت زیاد توزیع می گردد. جذب انرژی توسط پلیمر باعث برانگشتگی ارتعاشی می شود و نسبت میزان اتلاف انرژی در محل جذب به میزان جذب شده مشخص می کند که پلیمر ذوب خواهد شد یا کندگی روی خواهد داد. سه حالت کلی وجود دارد:

- اگر میزان جذب انرژی کم باشد، پلیمر یا هیچ گونه انتقالی نخواهد داشت، یا اینکه ذوب خواهد شد.

- اگر میزان انرژی جذب شده زیاد ولی زیر آستانه کندگی باشد، گسیختگی پیوندها در پلیمر روی خواهد داد که با مقداری ذوب همراه است.

- اگر میزان جذب انرژی خیلی زیاد باشد، انرژی به سرعت در

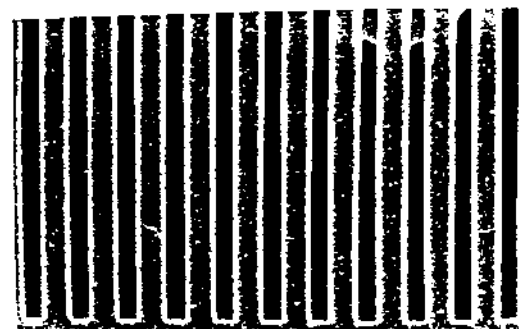
مقدمه امکان ایجاد برشهای تمیز و دقیق همراه با کمترین آسیب گرمایی و تفکیک فضایی زیاد روی پلیمرهای آلی و بافت های زیستی همیشه از نظر مکانیسم کندن و کاربردهای آن مورد توجه و بحث بوده است. این کار نخستین بار توسط سرینیوسان و همکارانش [۱-۳] در اوایل سال ۱۹۸۰ با لیزر اکسایمر (ArF excimer) در طول موجه ای ۱۹۲ nm انجام شد. دو نظریه برای رد وجود آسیب گرمایی در طول موجه ای کوتاه فرابینفس ارائه شده است. نظریه اول توسط سرینیوسان، به دلیل جذب فوتونهای پرانرژی و شکست مستقیم پیوندهای پلیمر که اصطلاحاً آن را کندن نور تجزیه ای می گویند، پیشنهاد شد. نظریه دوم را دیر و همکارانش [۴] پیشنهاد کردند که مبنی بر تخریب نور گرمایی (photothermal degradation) بسیار سریع است. در حالت دوم، برانگشتگی الکترونی اولیه به وسیله جذب پرتو فرابینفس انجام می شود که در مرحله بعد از راه آسایش سریع به انرژی ارتعاشی

نتایج

برش PET با لیزر XeCl

فیلمهای PET به ضخامت $5 \mu\text{m}$ با لیزر XeCl دارای باریکه $5 \times 17\text{mm}^2$ ، انرژی ضربه حدود 50 mJ ، پهنهای ضربه 8ns ، که در فرکانس‌های زیر 10 Hz عمل می‌کند، برش داده شده‌اند. آستانه شاریدگی (fluence threshold, F_{th}) برای کندن تقریباً 170 mJ/cm^2 است که در این ناحیه ذرات یا پلوم (plume) فاقد هرگونه روشنازی بودند، ولی با افزایش شاریدگی تا بالای آستانه بدribut معنی‌دار شدند. نتایج طیف‌سنجی زیرقزم، طیف‌نمایی همراه با اندازه‌گیری افت وزن (weight loss) بالای آستانه، که در یک محفظه بسته دارای هوای خشک و در فشار اتمسفر انجام گرفت، نشان می‌دهد که مواد اصلی حاصل از برهم‌کنش لیزر با PET عبارت اند از: CO_2 , CO , H_2O , CH_2CHO ، C_2H_2 [۱۴] و C_2H_4 [۱۵]. در مطالعات جداگانه‌ای [۱۵] معلوم شد که کارایی برش PET با این لیزر در فرکانس‌های بالا ($100\text{ Hz} \geq 100\text{ Hz}$) بیشتر می‌شود که احتمالاً علت اصلی آن افزایش آثار گرمای در حین فرایند کنند است و میزان برش فیلم PET به ضخامت $12\mu\text{m}$ در فرکانس 90 Hz حدود 130 cm^{-1} به دست آمد.

برش پلی‌اتیلن ترفلات و پلی‌ایمید با لیزرهای ArF و KrF در این آزمایشها از لیزرهای KrF (EMG-۵۰) با طول موج 248nm و پهنهای ضربه 15ns (FWHM) و ArF با طول موج 193nm و پهنهای ضربه 10ns (FWHM) که هر دو در 1 Hz عمل می‌کنند، برای برش

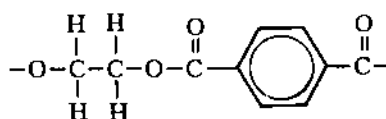


شکل ۱ - ریزنگاشت الکترونی پلیمر PET به ضخامت $5 \mu\text{m}$ که با لیزر XeCl (30.8 nm) برداشت شده است [۱۲].

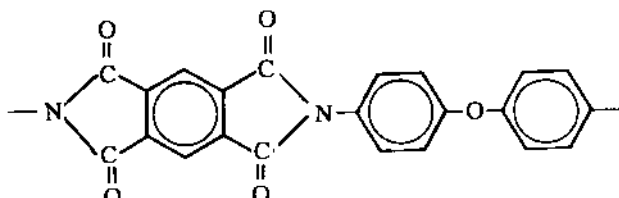
نواحی محدود ابانته می‌شود و فرایند تفکیک چند فوتونی (multiple photon dissociation) روی می‌دهد و در اثر جذب انرژی فوتونها از راه ارتعاش پیوند‌ها سرانجام عمل گیختگی آنها صورت می‌گیرد. در این فرایند هیچ گونه اثر ذوب‌شدگی نیز مشاهده نمی‌شود [۱۲-۱۵].

کاربردهای مهمی که برای برش پلیمرها با لیزر می‌توان در نظر گرفت عبارت اند از: میکروالکترونیک، اپتو الکترونیک، سوراخ کردن میکرومکانیکی و پزشکی است (شکل ۱).

لازم به یادآوری است که برش پلیمرهای همگن و آلی را می‌توان به عنوان مدل ساده‌ای برای کاربردهای پزشکی از قبیل برش پلی‌متیکریلات (PMMA) در جراحی فیکوامولسیفیکاسیون (lens capsulotomy) و کپسولاویمی عدسی (phacoemulsification) به کار گرفت، هرچند برای بررسی دقیقت باید عواملی مانند مقدار آب و چندلایه‌بودن محیط را در نظر گرفت. در این آزمایشها پلیمرهای پلی‌اتیلن ترفلات (PET) و پلی‌ایمید عمدها استفاده قرار گرفته که ساختار شیمیایی آنها در شکل ۲ نشان داده شده است.



(الف)



(ب)

شکل ۲ - ساختار شیمیایی: (الف) PET و (ب) پلی‌ایمید.

تجزیه

مواد و دستگاهها

در این پژوهش از پلی‌ایمیدهای کاپتون (Kapton) از شرکت دوپان و یوپیلکس (Upilex) نوع R و S و فیلمهای PET با نام تجاری ملینکس (Melinex) نوع S از شرکت ICI استفاده شده است.

لیزرهای فرایندش اکسایمر ArF، KrF و XeCl و همچنین زیرقزم HF و CO_2 به کار گرفته شد که جزئیات هر یک از آنها در بخش نتایج ارائه شده است.

همان طور که در تصویر شکل ۶ دیده می شود، لبه برش فیلم تمیزتر از تصویر آن در شکل ۴ است که به علت بیشتر بودن ضریب جذب این پلیمر نسبت به PET است.

نکه جالب توجه این است که تغییر سطح پلیمر در فرایند کنند به صورت نواحی مخروطی (conical regions) مشاهده می شود. این پدیده که قبلاً گزارش شده است [۱۷، ۱۸] به دلیل آلدگی پلیمر به ذرات در حین تولید، تهشیینی دوباره ذرات هنگام عمل کنند و رهایی از فشار به وجود آمده در فیلم است.

آخرین آزمایش با لیزر ArF روی پلیمر PET انجام شده است که نتایج آن در نمودار ۸ ارائه شده است. آستانه برداشت بالای 15 mJ/cm^2 است که تا 10^0 mJ/cm^2 رفتار خطی مشاهده می شود و

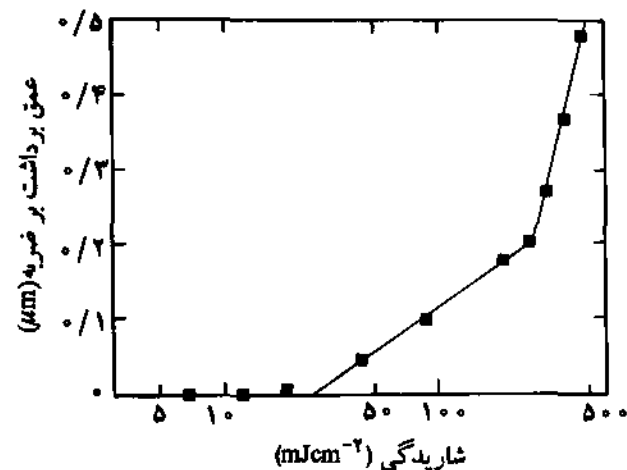
بعد از آن ناحیه غیرخطی آغاز می گردد.

اشارة می شود که در پژوهشها جداولهای [۱۹] از حسگر نور صوتی (photoacoustic) که عمدتاً شامل مبدل پیزوالکتریک پلی وینیلیدن فلوئورید (PVDF) است، برای مطالعه زمان کنند و فشار وارد شده بر سطح پلیمر استفاده شده است. مثلاً آستانه زمان کنند پلی ایمید با لیزرها ArF و XeCl حدود 60 ns - 40 ns بعد از شروع ضربه لیزر است و فشار وارد شده در پهنهای تقریبی 20 Pa بیش از 10^7 Pa (حدود 10^0 atm) است.

اشارة می شود که به غیر از لیزرها اکسایم منابع UV دیگری مانند آرگون به کار گرفته شده اند [۲۰] که در این مطالعات از طول موجهای بین $300 - 320 \text{ nm}$ و $350 - 380 \text{ nm}$ با چگالی توان حدود 1 KW/cm^2 روی پلیمرهای کاپتون استفاده شده است. از آنجا که این یک لیزر پیوسته است و با دستگاه الکترونیکی ضربه های حدود ms را می دهد، امکان وجود آسیب گرمایی زیاد است. با وجود این، اگر لکه لیزر با بعنای ضربه ms $1 - 10^0$ روی سطح پلیمر حرکت کند آسیب کمتری روی خواهد داد.

برش PET با لیزر CO₂

در این آزمایشها لیزر پیش یون شده CO₂ که در مده TEM₀₀ عمل می کرد به وسیله یک پراش خط $9R42$ در 10^{91} cm^{-1} ، یعنی طول موج $2 \mu\text{m}$ ، انتخاب شد. زیرا، ضریب جذب این طول موج حدود 975 cm^{-1} بیشتر از خط دیگر لیزر، یعنی $10R18$ در 10^{04} cm^{-1} است. ذرات کنده شده پلیمر PET که در محفظه ای به حجم 66 cm^3 در دمای معمولی قرار داشت با استفاده از نیتروژن مایع منجمد شد. نتایج آزمایشها کروماتوگرافی گازی نشان می دهد که مواد تولید شده اصلی CO₂، CO، CH₄، C₂H₄، C₂H₆ و C₃H₈ هستند. آغاز برداشت پلیمر حدود 10^0 mJ/cm^2 است که البته تا شاریدگی 10 mJ/cm^2 رفتار خطی مشاهده می شود. یکی از ویژگیهای



شکل ۳- برداشت پلیمر PET ($70 \mu\text{m}$) با لیزر KrF در هوا با تارنوری.

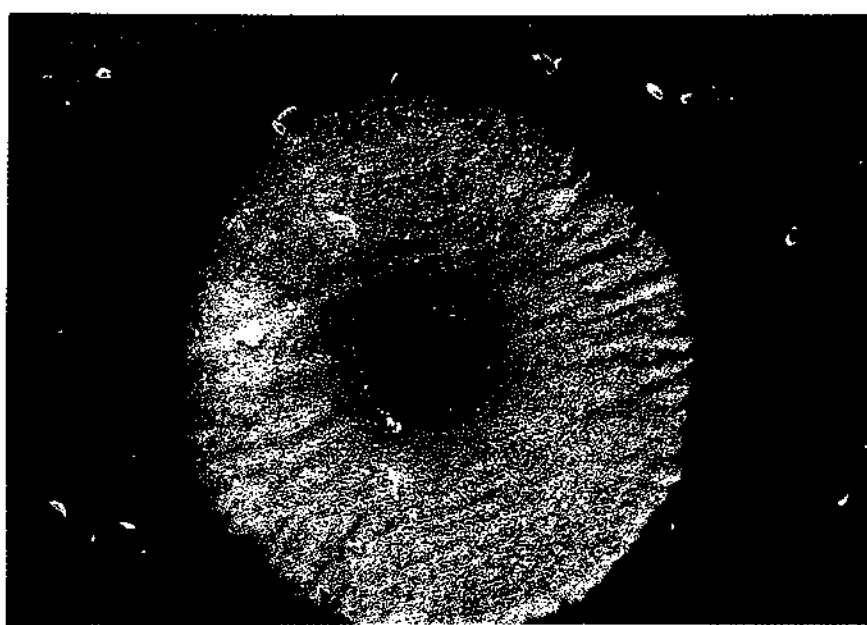
فیلمهای پلیمر با خصائص متفاوت استفاده شده است [۱۶]. از آنجاکه در بسیاری موارد از تارهای نوری (optical fibers) جهت انتقال باریکه لیزر برای برش مواد از راه دور استفاده می شود، از این رو مقایسه نتایجی که با استفاده از تارهای نوری و بدون آنها به دست می آید لازم و ضروری است.

همان طور که از شکل ۳ پیداست، آستانه شاریدگی برای برداشت حدود 25 mJ/cm^2 است و تا شاریدگی 30 mJ/cm^2 میزان شیب خط به تندی تغییر می کند و میزان برداشت رابطه مستقیم با شاریدگی پیدا می کند. در شاریدگیهای بالای آستانه صدا شنیده می شود که علت عدمه آن حرکت ذرات تولید شده با سرعت فراصوت است. اطراف محل برش کش لیزر با رنگ قهوه ای روشن درمی آید که به دلیل مواد حاوی کربن است.

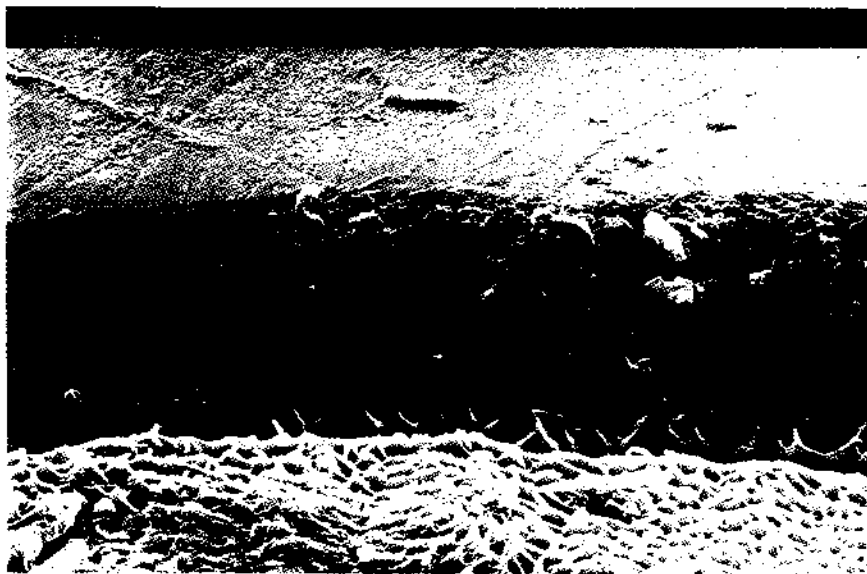
چنانچه از شکل ۴ (الف پیداست)، کنند پلیمر از مرکز شروع می شود که در واقع نشان دهنده زیادتر بودن انرژی (و در نتیجه شاریدگی) در مرکز محور اپتیکی است. ناهمواری سطح کنده شده در شکل ۴ ب بخوبی مشاهده می شود که می تواند به دلیل جذب نسبتاً ضعیف این طول موج و همچنین کافی نبودن تعداد ضربه ها در شاریدگی داده شده باشد.

از سوی دیگر، وقتی پلی ایمید کاپتون با این لیزر برش داده می شود، نتایج جالب و متفاوتی بدست می آید که در شکل های ۵ تا ۷ نشان داده شده است.

چنانچه ملاحظه می شود آستانه شاریدگی حدود 20 mJ/cm^2 است و در محل برش کش مانند آزمایش قبلی رنگ قهوه ای ایجاد می شود که در شاریدگیهای بالاتر پرنگتر می گردد.



(الف)



(ب)

شکل ۴ - تصویر میکروسکوپ الکترونی PET که با لیزر KrF برداشت شده است: (الف) در 200 mJcm^{-2} با ۱۵۰ ضربه و (ب) در 200 mJcm^{-2} با ۹۰ ضربه به وسیله تار نوری برداشت شده است.

خاص و مورد توجه این است که هرچند کیفیت کدن خوب و دیواره سبتا تمیز و صاف است (شکل ۹) ولی به نظر می‌رسد که مواد کنده شده به صورت تپه در اطراف محل برهم‌کنش روی سطح سالم انباشته می‌شوند [۲۱].

مشخصه‌های اکثر پلیمرها این است که در محدوده طول موج $2/5\text{-}3 \mu\text{m}$ اکسایمر و CO_2 دارند، به غیر از پلی‌وینیل الكل، PVA، که جذب آن خوب است [۱۶]. همان‌طور که از نتایج طیف نورسنجی مشاهده می‌شود (شکل ۱۰) این نوع پلیمرها در خط 3470 cm^{-1} بیشترین جذب را دارند و در این طول موج دو ضریب

خاص و مورد توجه این است که هرچند کیفیت کدن خوب و دیواره سبتا تمیز و صاف است (شکل ۹) ولی به نظر می‌رسد که مواد کنده شده به صورت تپه در اطراف محل برهم‌کنش روی سطح سالم انباشته می‌شوند [۲۱].

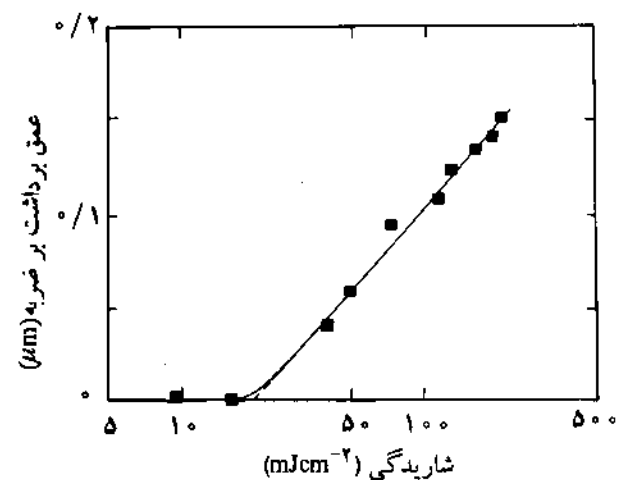
بوش پلی‌ایمید با لیزر HF پلی‌ایمید یوپلیکس نوع R و S به وسیله لیزر چند طول موجی

که میانگین برداشت تعداد زیادی ضربه در نظر گرفته شود که با توجه به شکل ۱۲ آستانه شاریدگی برای نوع S، 5 Jcm^{-2} و برای نوع R، 2 Jcm^{-2} به دست می‌آید.

همان‌طور که در تصویر میکروسکوپ الکترونی پلیمر نوع R در شکل ۱۳ مشاهده می‌شود، توپوگرافی سطح فیلم پس از برهم‌کش ضربه در شاریدگی 2 Jcm^{-2} تا حدود زیادی تغییر یافته است. ظاهرابخشاهای کوچک مواد به شکل حباب درآمده و در برخی جاهای دیگر سوراخ ایجاد شده است. هنگامی که شاریدگی به 5 Jcm^{-2} افزایش می‌یابد، مقدار زیادی از پلیمر به صورت لایه کنده شده به عقب رانده می‌شود، در حالی که مرز محل کندن مشخص نیست.

آزمایش‌های مشابهی روی پلیمرهای PET و PVA انجام گرفت. نتایج PET کم یا بیش مانند پلی‌ایمید است، ولی PVA به دلیل وجود گروه OH- در واحد تکراری خود ضریب جذب زیادی در محدوده طول موج $2 \text{ / } 5 - 3 \mu\text{m}$ دارد. در هر حال وجه مشترک در نتایج تمام آزمایش‌های IR وجود حفره‌های ایجاد شده در پلیمرهاست که بیانگر خروج مواد گازی از داخل پلیمر به بیرون است.

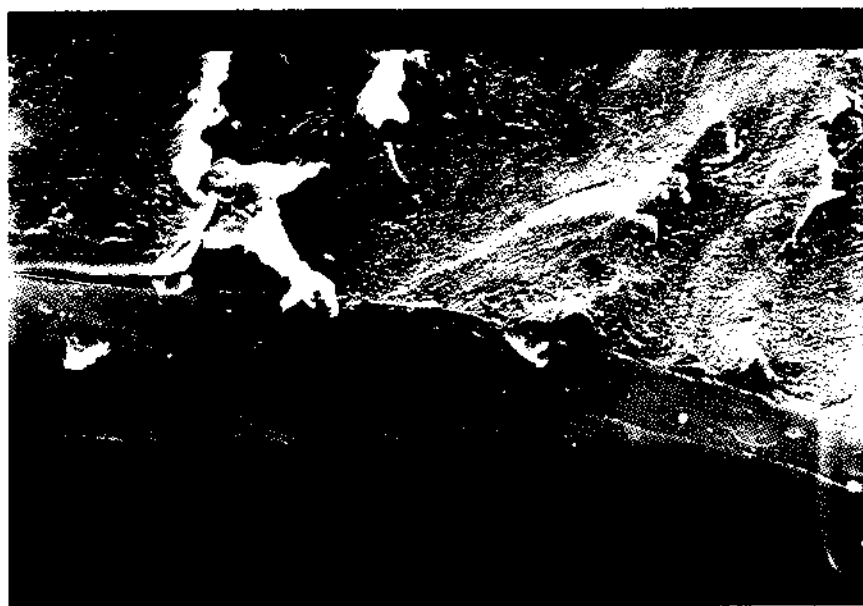
برش قرنیه چشم بالیزر HF از آنجاکه حداقل جذب طول موج $2 \text{ / } 9 \mu\text{m}$ در آب مشاهده می‌شود و قرنیه دارای حدود ۷۵٪ آب است، بنابراین برش بافت قرنیه (برداشت پروتئینها) به آسانی از روش‌های نور گرمایی امکان‌پذیر است. اطلاعات مفصلتر را می‌توان در مراجع ۱۶، ۲۲، ۲۳ و ۲۴ به دست آورد.



شکل ۵- کندگی پلیمر پلی‌ایمید ($90 \mu\text{m}$) با لیزر KrF در هوا با تار نوری.

جذب $160 \text{ و } 220 \text{ cm}^{-1}$ ، که از راه اندازه گیری میزان عبور به دست آمده‌اند، وجود دارد. این بدان معناست که میزان نفوذ فوتون با این طول موج در پلیمر به ترتیب $44 \text{ و } 624 \mu\text{m}$ است.

یکی از مهمترین مشاهدات در این آزمایشها دوره نهفتگی است. بدین معنا که برای شروع کندن ذرات، تعدادی ضربه لازم است تا از راه مکانیسمی در اثر برهم‌کش لیزر با ماده انرژی جمع شود و کندن ذرات آغاز گردد. به عنوان مثال برای یوپلیکس نوع R، 12 ضربه و نوع S، 5 ضربه در شاریدگی 5 Jcm^{-2} لازم است (شکل ۱۱). بنابراین، رابطه بین کندن و شاریدگی وقتی مفهوم پیدا می‌کند



شکل ۶- تصویر میکروسکوپ الکترونی پلیمر پلی‌ایمید بالیزر KrF در هوا بدون تار نوری در شاریدگی 2 Jcm^{-2} و 115 ضربه .

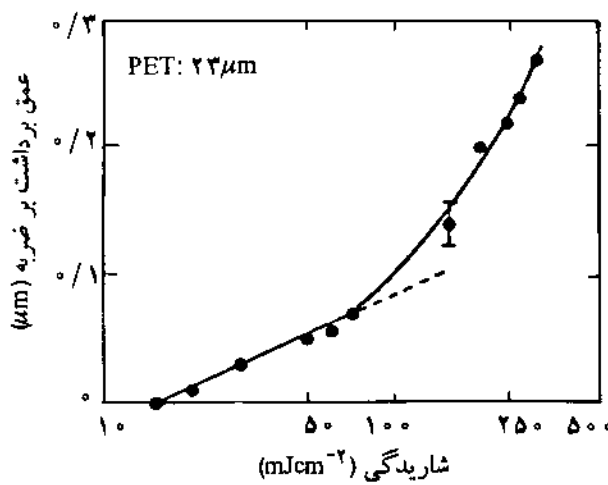


شکل ۷- ایجاد نواحی سخروطی روی پلی ایمید بالیزر KrF در شاریدگی 200 mJcm^{-2} و 600 mJcm^{-2} ضربه.

ضریب جذب (α) و ضریب پراکنده (β) است. ضریب پراکنده از رابطه $\beta = \frac{\alpha V}{D}^{1/2}$ به دست می آید که V و D به ترتیب سرعت نور و ضریب پخش فوتونها در هدف است. میزان برداشت ماده به ازای هر ضربه لیزر بر حسب شاریدگی را می توان با استفاده از قانون بیر مطالعه کرد که به شکل کلی زیر ارائه می شود:

$$D_e = \frac{1}{\alpha_p} \ln \left[\frac{\alpha_p F}{\alpha_p F_{th}} - \frac{\alpha_p}{\alpha + 1} \right] \quad (1)$$

که در آن D_e عمق برداشت، α_p ضریب جذب ذرات یا پلوم، F

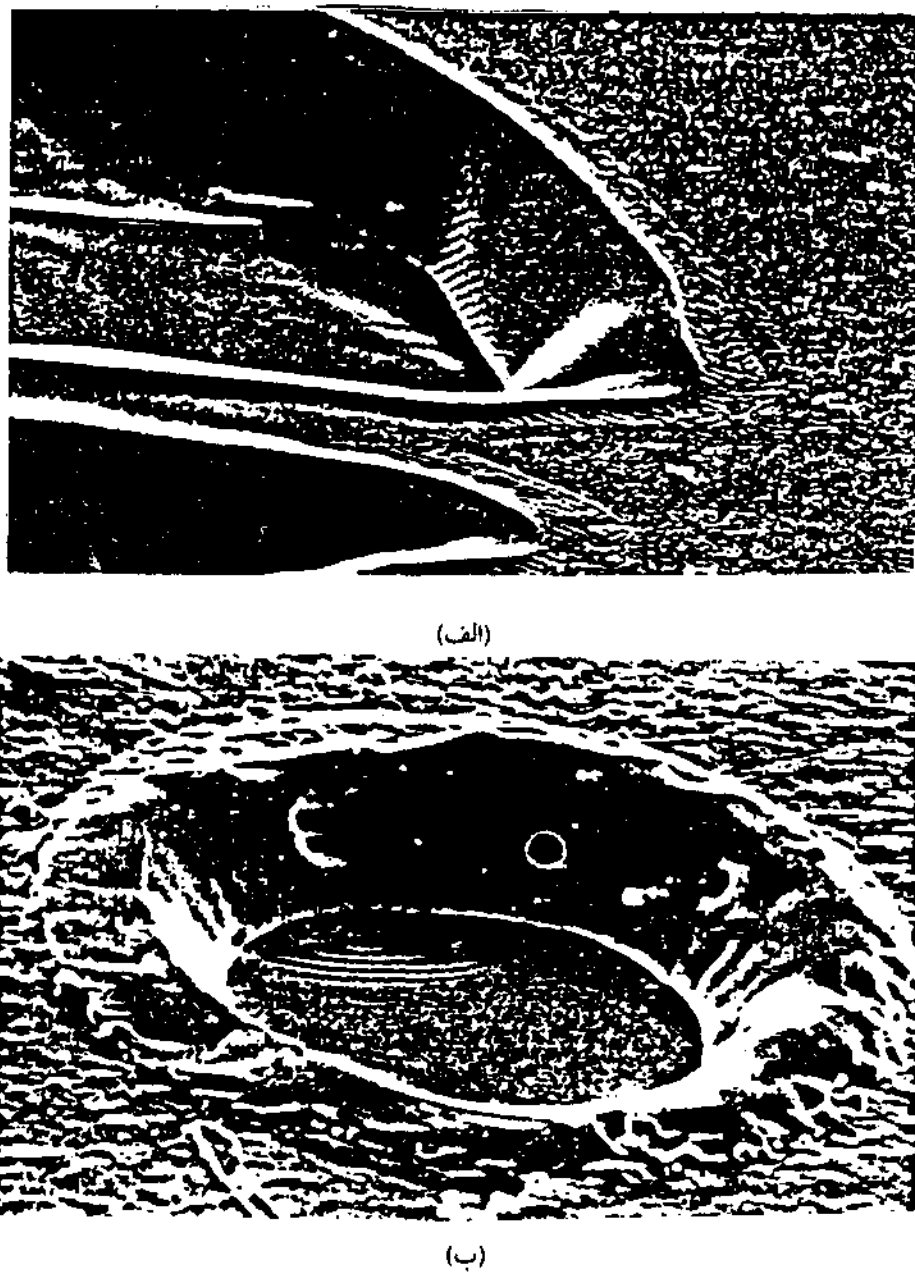


شکل ۸- برداشت پلیمر PET به وسیله لیزر ArF در هوای نارنجی.

برای درک بهتر فرایند برهم کنش پرتوهای لیزر با ماده (مانند پلیمر و بافت) دانستن فیزیک و مکانیسمهای مربوطه شرط لازم است. برهم کنش لیزر با پلیمرها و مکانیسم کدن آنها که سالها مورد بحث و توجه قرار گرفته است، در انتخاب درست کاربردهای لیزر مهم و مؤثر است. نظریه نور تجزیه بر این اساس است که برهم کنش فوتونهای پرانرژی پرتوهای UV با پلیمر یک فرایند نورشیمیایی است که بر اثر جذب فوتونها، نور تفکیک (photodissociation) مستقیم پیوندهای مولکولهای پلیمر به ذرات کوچکتر ایجاد می شود. عمل کدن نیز در واقع نتیجه این فرایند است و به صورت برداشت ذرات کوچک که با سرعت زیاد از سطح ماده استخراج می شوند، مشاهده می گردد. برهم کنش لیزرهای UV با بافت‌های زیستی نیز به همین طریق است، یعنی عمدتاً جذب فوتونها توسط رنگسازهای درون ساختار پروتئین انجام می شود. نظریه نورگرمایی بر این اساس است که تمام رویداد برهم کنش یک فرایند گرمایی بسیار سریع است که بر اثر آن برانگیختگی الکترونی اولیه، ناشی از جذب فوتونهای UV، به وسیله آسایش سریع به انرژی ارتعاشی مولکولها در حالت پایدار تبدیل می شود که در نتیجه آن تجزیه گرمایی رخ می دهد.

مدل نورشیمیایی

اصلًا میزان جذب انرژی پرتو به وسیله ماده از رابطه $I = I_0 e^{-\gamma x}$ پیروی می کند که $\gamma = \alpha + \beta$ ضریب افت کلی پرتو است که خود شامل



شکل ۹- تصویر میکروسکوپ الکترونی PET که با لیزر CO_2 برداشت شده است: (الف) با خط $9R42$ و (ب) با خط $10R42$

حالی که ضریب جذب پلوم مانند خود پلیمر ($\alpha = \alpha_p$) است از رسانندگی گرمایی، K ، می توان صرف نظر کرد، به شرط آنکه اندازه

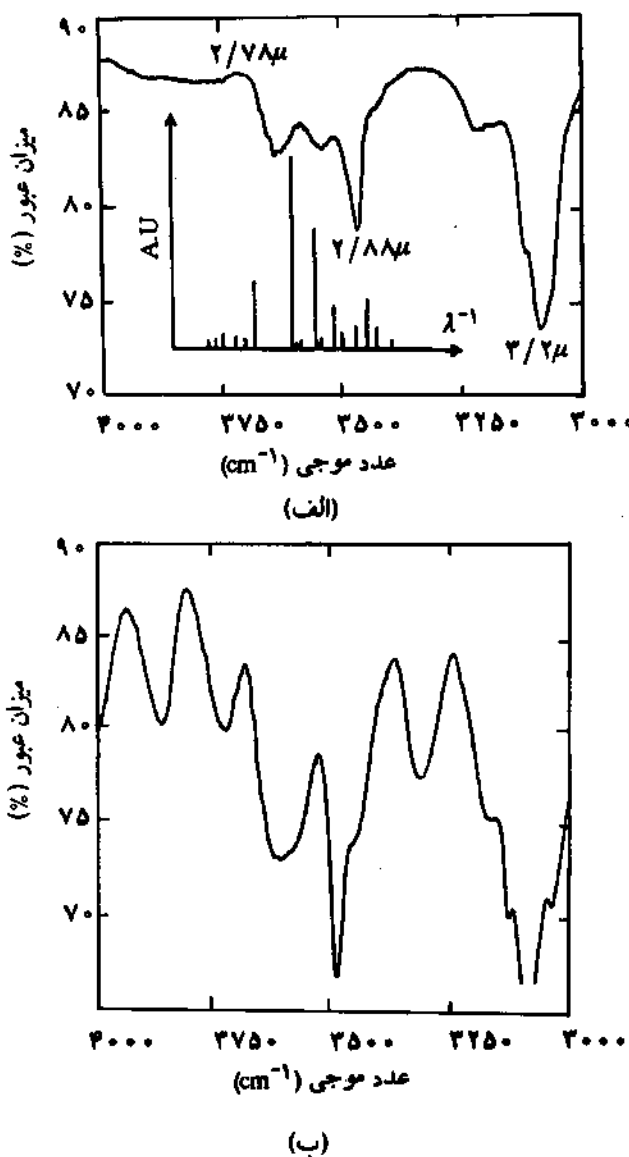
شاریدگی لیزر و F_{th} آستانه شاریدگی است. در معادله ۱ از اتفاق ناشی لکه ضریب لیزر و عمق نفوذ فوتون در مقایسه با عمق پخشندگی گرمایی، D_T ، بیشتر باشد:

$$D_e = \frac{1}{\alpha} \ln \left[\frac{F}{F_{th}} \right] \quad (3)$$

و میزان برداشت بالگاریتم شاریدگی تغییر می کند که این رابطه عمدتاً در مقادیر پایین صدق می کند. از سوی دیگر، وقتی پلوم شفاف است ($\alpha \rightarrow \alpha_p$)، داریم:

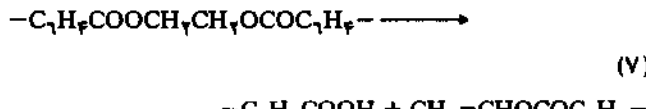
$$D_T = (4k\tau_p)^{1/2} \quad (4)$$

ضریب پخشندگی گرمایی و τ_p پهنهای ضریب لیزر است. برای



شکل ۱۰ - طیف جذبی علامتهای ضعیف IR در پلی ایمید آپلیکس:
(الف) نوع R ($5\ \mu\text{m}$) و (ب) نوع S ($20\ \mu\text{m}$).

تجزیه گرمایی PET با لیزرهای CO_2 یا XeCl یا به نظر می‌رسد که نخستین مرحله در تجزیه گرمایی پلیمر PET تشکیل اسید کربوکسیلیک و گروههای اولفینی در اثر شکستن پیوند استری است [۲۵، ۲۶].



با استفاده از پارامترهای معادله آرنیوس، ضریب A حدود

مکانیکی نور پرگیر سال هشتم، شماره سوم، پاییز ۱۳۷۳

$$D_{\text{c}} = \frac{F - F_{\text{th}}}{\alpha F_{\text{th}}} \quad (4)$$

و میزان برداشت مستقیماً با شاریدگی تغییر می‌کند که این رابطه در مقادیر زیاد قابل استفاده است. حالا عبارت (c) را به عنوان تعداد پیوندهای شکسته شده در واحد حجم در فاصله λ از سطح پلیمر در زمان t تعریف می‌کنیم:

$$n = (f\alpha F/\hbar\nu) e^{-\alpha x} \quad (5)$$

که در آن $\hbar\nu$ انرژی فوتون و f درصد جذب فوتونهاست که منجر به شکسته شدن پیوندها می‌شود. آستانه شاریدگی که برای شکستن n پیوند در واحد حجم لازم است عبارت است از:

$$F_{\text{th}} = \frac{n\hbar\nu}{\alpha f} \quad (6)$$

یکی از ویژگیهای مهم نظریه یاد شده این است که پیوندهای شکسته شده در قسمت کنده شده پلیمر بالی می‌ماند و ماهیت قانون بیر وجود چگالی زیاد این پیوندهای شکسته شده را ضمانت می‌کند. باید توجه داشت که اگر لیزر در فرکانس پایین عمل کند، اثر گرمایی ایجاد شده به وسیله پالسها را می‌توان نادیده گرفت. به طور کلی اگر شاریدگی زیر آستانه کنند باشد، فشار یا علامتهای گرماتکسان (thermoelastic) به وجود می‌آید که بر اثر جذب انرژی در زمان پنهانی ضربه، انبساط سرع امواج گرمایی به وجود می‌آید و شوک تولید می‌کند. اگر شاریدگی بالای آستانه باشد، ذرات کنده شده دارای انرژی جنبشی $E_k = mv^2/2$ می‌باشند. در این رابطه سرعت ذره حدود 10^8 cm s^{-1} و جرم ذره است. بنابراین، ذرات به دلیل انتقال اندازه حرکت، نیروی در خلاف جهت حرکت به سطح پلیمر وارد می‌کنند که تقریباً مساوی $d(mv)/dt = mv/\tau_p$ است. در بسیاری از موارد در شاریدگی زیاد کنندن توان با تشکیل پلاسماست که با سرعت فراصوت در برابر گازهای اطراف انبساط می‌یابد و در حین این عمل گازهای اطراف بیشتر مکیده می‌شوند و خلاه ایجاد می‌شود. از آنجاکه انرژی ضربه لیزر محدود است، سرعت انبساط شوک با افزایش فاصله از سطح ماده بتنریج کاسته می‌شود. این نوع مدل ناپایدار وقتی صدق می‌کند که انرژی زیادی در حجم کوچکی متصرکر شود [۲۴].

مدل نور گرمایی

همان طور که اشاره شد، این مدل کاملاً در مورد لیزرهای IR و تا حدودی برای طول موجهای بلند UV و XeCl ، ArF و KrF مصدق می‌کند.

مکانیسم کندن پلیمرهای آلی به وسیله...

$$T_f = \frac{(1-R)F\alpha}{\rho C} + T_i \quad (1)$$

که در آن T_f ، T_i دمای اولیه و نهایی، R درصد بازتاب نور از سطح فیلم، F چگالی و C گرمای ویژه است.

دمای درون پلیمر

وقتی انرژی ضربه لیزر IR به وسیله پلیمر جذب می‌شود، بلافاصله به گرمای تبدیل می‌شود و پروفیل زمان-گرمای، $T(x,t)$ ، پلیمر برابر است با:

$$T(x,t) = \frac{\alpha(1-R)}{\rho C} e^{-\alpha x} \int_0^t I(t) dt + T_R \quad (1\circ)$$

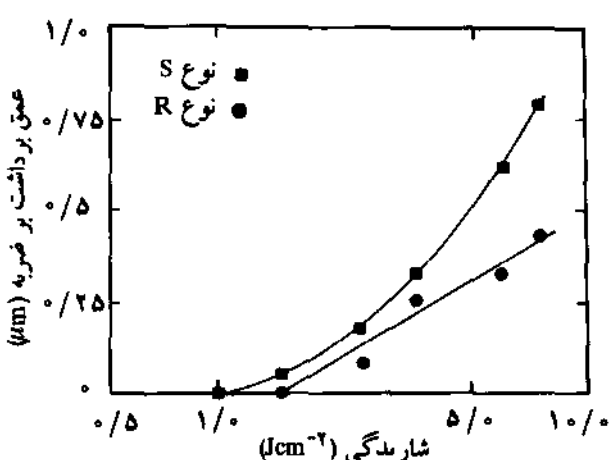
که در آن x فضای (عمق) فیلم، $I(t)$ چگالی توان لیزر و T_R دمای معمولی است. مدت زمان لازم برای انتقال گرمای به وجود آمده از محل برهم کنش به توازنی دیگر پلیمر زمان آسايش گرمایی (thermal relaxation time) نامیده می‌شود:

$$\tau_r = (\rho k \alpha)^{-1} \quad (11)$$

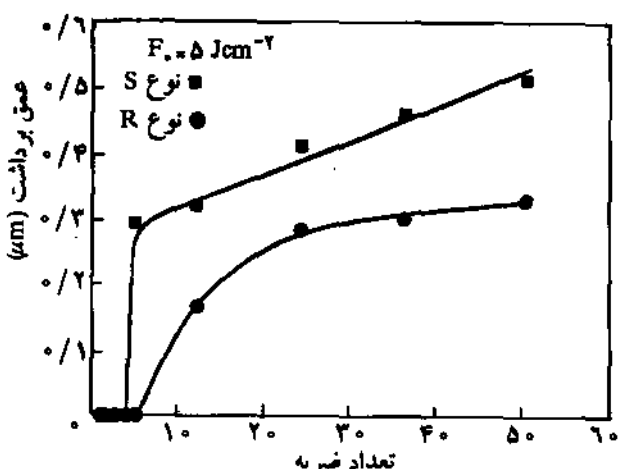
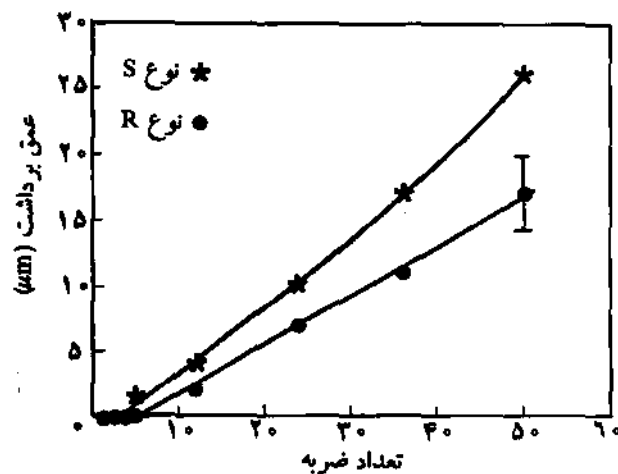
ضریب پخشندگی گرمایی و α ضریب جذب پلیمر است. اگر زمان پیشتر از پنهانی ضربه، t_p ، و کوچکتر از τ_r باشد، معادله ۱۰ به صورت زیر نوشته می‌شود:

$$T(x) = \frac{F\alpha(1-R)}{\rho C} e^{-\alpha x} + T_R \quad (12)$$

بنابراین با داشتن پارامترهای بالا می‌توان برای پلیمر یا بافت خاص، دمای



شکل ۱۲ - عمق برداشت به ازای هر ضربه شاریدگی.



شکل ۱۱ - عمق برداشت و میانگین آن به ازای هر ضربه لیزر.

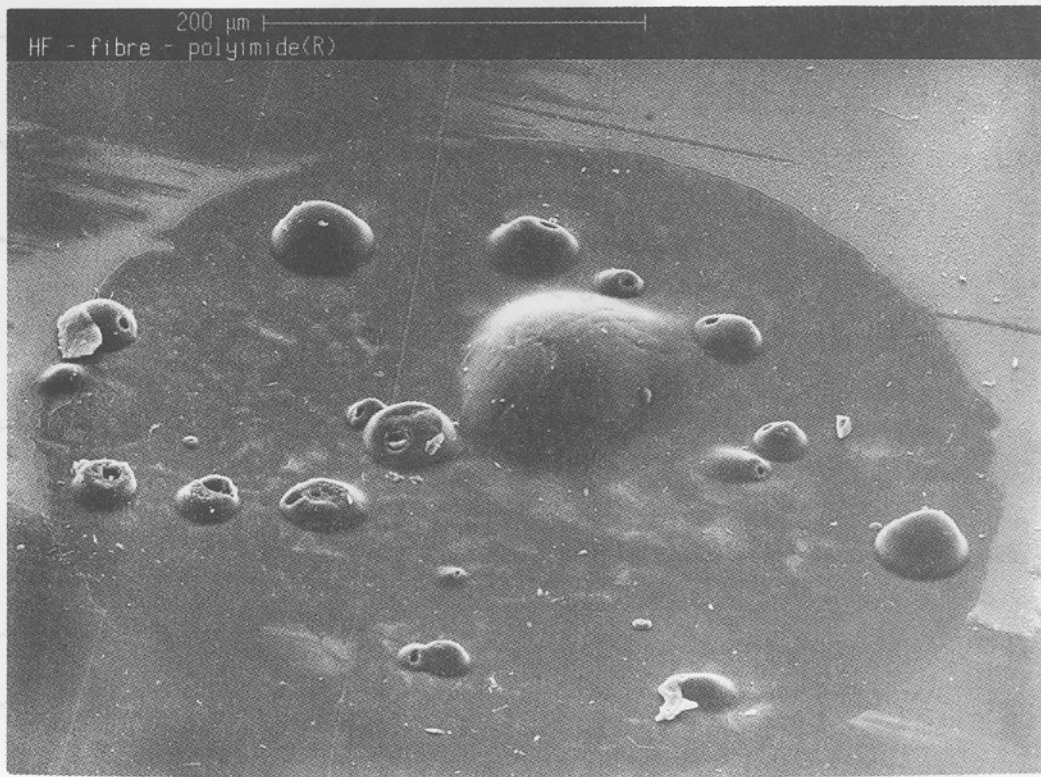
$10^{12}-10^{14}$ و $10^{14}-10^{16}$ انرژی فعالسازی E حدود $170-210 \text{ KJmol}^{-1}$ و تجزیه گرمایی PET در محدوده دمایی $200-280^\circ\text{C}$ است. مقادیر E محدوده وسیعی دارد که میانگین آن حدود 196 KJmol^{-1} است. به طور کلی، مقدار ثابت سرعت مرتبه یک، k' ، برابر است با:

$$k' = 1/4 \times 10^{12} e^{-196000/RT} \quad (8)$$

که در محاسبات از آن استفاده می‌شود. در این معادله T بر حسب $^\circ\text{K}$ است.

دماي سطح پلیمر از رابطه (9) به دست می‌آيد:

مدونکنوزپری سال هشتم، شماره سوم، پاییز ۱۳۷۴



شکل ۱۳ - تصویر میکروسکوپ الکترونی پلیمر پلی ایمید نوع R پس از ۶۰ ضربه در شاریدگی $2/5 \text{ Jcm}^{-2}$.

یک ضربه) عمل می‌کند.

mekanizm کنند در این شرایط بر اساس وجود ناخالصیهای ریز (microinclusions) کدر با قطر کمتر از $1\mu\text{m}$ پیشنهاد شده است که این ذرات در سراسر پلیمر پخش شده‌اند [۱۷]. وقتی ضربه لیزر با چگالی توان زیاد با این ناخالصیها برخورد می‌کند، انرژی آن جذب و گرما ایجاد می‌شود که خیلی بیشتر از بقیه نواحی است. این ناخالصیها در واقع به عنوان مراکز جذب عمل می‌کنند که در نهایت منجر به پیدایش مکانهای کربن دار می‌شود. در ادامه تابش دهی پلیمر باللیزر قطر این مراکز جذب و ناخالصی افزایش می‌یابد که سرانجام تحت تاثیر فشار مواد گازی تولید شده که ناشی از پیروولیز است آسیب دیدگی روی می‌دهد. بنابراین، برای حالت پایدار داریم:

$$T_s = \frac{\sigma I}{4\pi K r} \quad (13)$$

که در آن T_s دمای سطح، K رسانندگی گرمایی، I شعاع ذرات کروی، $\sigma = \pi r^2$ مساحت ذرات است. برای لیزر HF چگالی توان لیزر و $\sigma = \pi r^2$ با پهنای ضربه $ns = 400 \times 10^{-6}$ و $I = 2/5 \text{ Wcm}^{-2}$ است. $r = 0.1\mu\text{m}$ ، $K = 1/6 \text{ cm}^2/\text{K}$ و $\sigma = 3/14 \text{ cm}^{-2}$ است، بنابراین T_s تقریباً 4000 K خواهد بود. نکته قابل توجه دیگر ماهیت

سطح یا درون هدف را محاسبه کرد. مثلاً برای PET داریم:

$$C = 1/32 \text{ Jg}^{-1}\text{K}^{-1}, \quad k = 1/5 \times 10^{-3} \text{ Js}^{-1}\text{cm}^{-1}\text{K}^{-1},$$

$$R = 0.05, \rho = 1/39 \text{ gcm}^{-3}$$

پس در شاریدگی زیر آستانه کنند، مثلاً 100 mJcm^{-2} ، دمای سطح بعد از برهم‌کش حدود 1330 K خواهد بود. برای پلی ایمید نوع R که با لیزر HF آزمایش شده‌اند فرض می‌کیم:

$$R = 0.05, \alpha = \alpha, F = F_{th}, \rho = 1/39 \text{ gcm}^{-3},$$

$$\alpha = 111 \text{ cm}^{-1}, C = 1/1 \text{ Jg}^{-1}\text{C}^{-1}$$

بنابراین، T_f تقریباً 430 K است. برای نوع S:

$$\rho = 1/47 \text{ gcm}^{-3}, \alpha = 182 \text{ cm}^{-1}, F_{th} = 1 \text{ Jcm}^{-2},$$

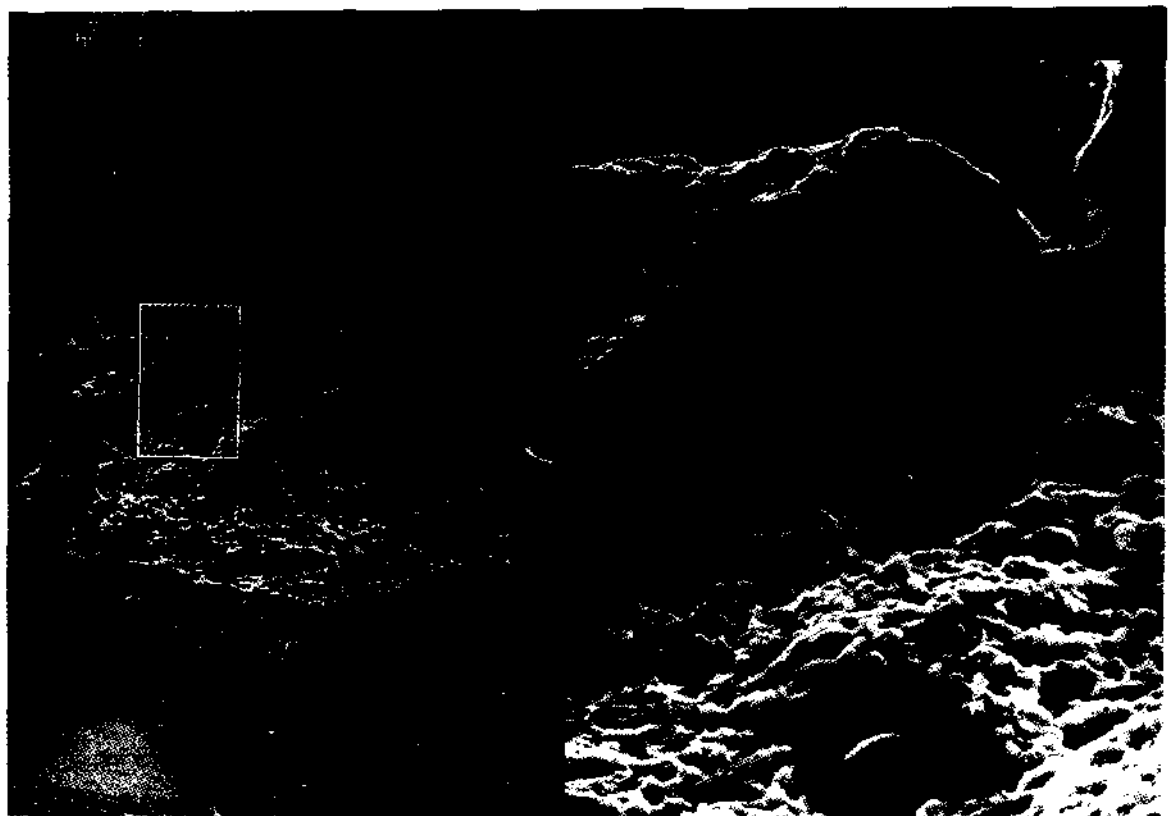
$$C = 1/13 \text{ Jg}^{-1}\text{C}^{-1}, R = 0.05$$

بنابراین، T_f تقریباً 398 K است.

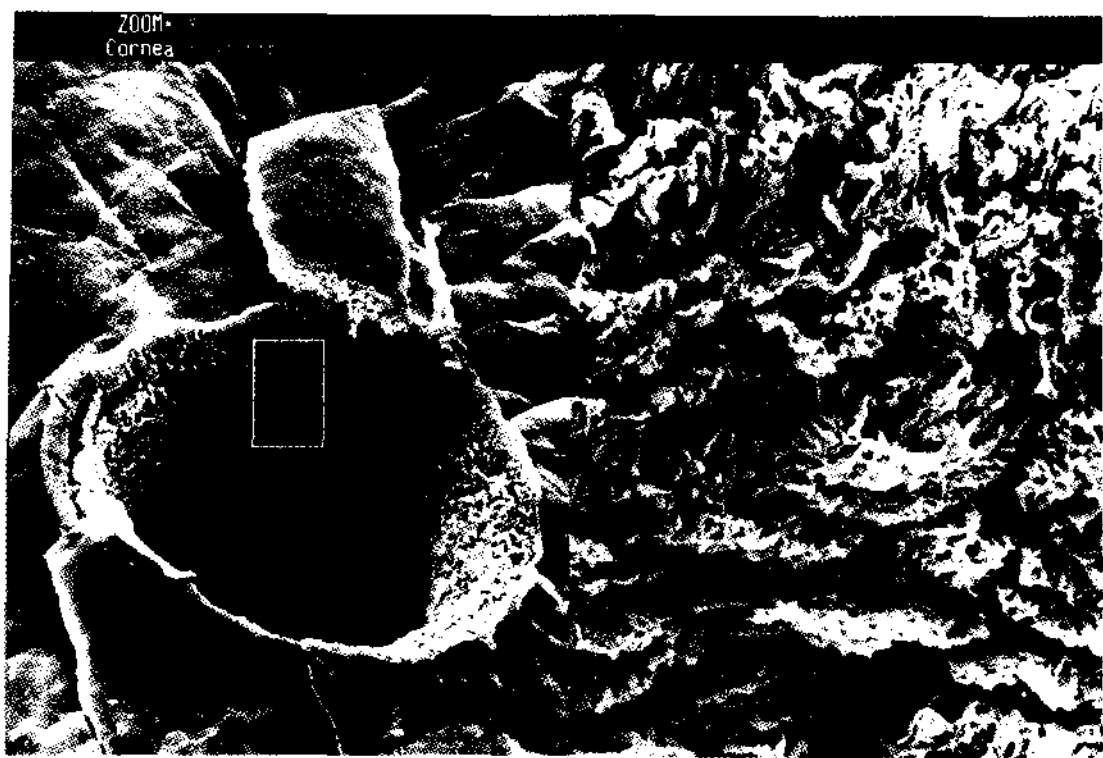
استثنایاً در مورد آزمایش پلی ایمید باللیزر HF چیست؟

دماهایی که برای نوع R و S محاسبه شد خیلی کمتر از دمای تجزیه گرمایی است (حدود 748 K) که سازنده ICI داده است. بنابراین، علت آسیب دیدن پلی ایمید گرمای ایجاد شده نیست.

اشاره می‌شود که اثر انباشتگی (accumulative effect) گرمای نیز اینجا نقش ندارد، چون لیزر در فرکانس 2Hz (یعنی هر پنج ثانیه



شکل ۱۴ - تصویر میکروسکوب الکترونی پلیمر پلی ایمید نوع S بعد از ۲۴ ضربه در شاریدگی $0.7/5 \text{ Jcm}^{-2}$



شکل ۱۵ - تصویر میکروسکوب الکترونی قرنیه چشم کنده شده به وسیله لیزر HF

جدول ۲ - اطلاعات به دست آمده از معادله های ۳ و ۴ برای پلیمرهای پلی ایمید و پلی اتیلن ترفلات.

پلی ایمید				پلی اتیلن ترفلات (PET)				λ (nm)
$\alpha_e F_{th}$ (KJcm ⁻³)	$\alpha_e (10^6)$ (cm ⁻¹)	F_{th} (mJcm ⁻²)	t (μm)	$\alpha_e F_{th}$ (KJcm ⁻³)	$\alpha_e (10^6)$ (cm ⁻¹)	F_{th} (mJcm ⁻²)	t (μm)	
					۲	۱۷۰	۵۰	۳۰۴
۲	۱۵	۲۰	۹۰	۳	۱۲	L _F	۲۵	۷۰
				۷	۲۸	H _F		
				۳	۲۱	L _F	۱۶	۲۳
				۲	۱۲	H _F		
					4×10^6	۶۰۰	۵۰	$9/2(10^3)$
۳۶	۳/۶	۱۰۰۰	$R=7/5$ $S=20$					۵۲/۵
۴۰	۲	۲۰۰۰						$3(10^3)$

نوشیج: L_F شاریدگی کم و H_F شاریدگی زیاد است.

۷- ضرب جذب طول موج ۱۹۳nm در PET و پلی ایمید به تقریباً برابر ۲۴۸ و ۳۰۸nm در پلی ایمید $9/2\mu\text{m}$ و در PET زیاد است. از سویی جذب طول موج ۱۹۳nm در PMMA و ۳۰۸nm در PET ضعیف است.

۸- در پلیمرهای مانند پلی ایمید (S و R) که در طول موج $2/5-3\mu\text{m}$ جذب ضعیفی دارند، مکانیسم آسیب دیدن آنها عمدتاً به دلیل مراکز جذب و ناخالصیهاست که تنها با مدل ساده نورگرمایی قابل توضیح نیست.

۹- از آنجاکه برهمنکش پرتوهای لیزر با مواد مختلف ذرات یا پلوم خطرناک تولید می کنند، باید نهایت دقیق برای حفاظت و ایمنی در نظر گرفته شود.

مراجع

- 1 Srinivasan R. and Mayne-Banton; *Appl. Phys. Lett.*; **41**, 576, 1982.
- 2 Srinivasan R. and Leigh J.; *J. Am. Chem. Soc.*; **104**, 6784, 1982.
- 3 Trokel S. and Srinivasan R.; *Am. J. Ophthalmol.*; **96**, 710, 1983.
- 4 Andrew J. and Dyer P.E. et al.; *Appl. Phys. Lett.*; **43**, 717, 1983.
- 5 Schulz P.A., Sudbo A.S., Krajnovich D.J., Kwok H.S.,

بهمن مانند فرایند است، یعنی با افزایش قطر این مراکز ناخالصی (۵ تقریباً برابر $2\text{ }\mu\text{m}$ است) دمای سطح نیز زیاد می شود که نتیجه آن ایجاد کربن بیشتر است.

نتیجه گیری

از جمع بندی مطالب می توان چنین نتیجه گرفت:

- ۱- با استفاده از معادلات ۳ و ۴ اطلاعات مربوط به پلیمرهای پلی اتیلن ترفلات و پلی ایمید در جدول ۱ خلاصه می شود.
- ۲- مکانیسم کندن مواد آلی با طول موجهای کوتاه ($<20\text{ nm}$) نورشیمیابی و در طول موجهای بلندتر و IR نورگرمایی و تا حدودی نورشیمیابی است.

۳- رفتار پلیمر در برابر عمل کندن، که از نمودارهای عمق برداشت در مقابل شاریدگی به دست می آید، شامل دو حالت است: حالت اول به وسیله قانون بیر (معادله ۳) تعریف می شود و ضرب جذب از شبکه به دست می آید. حالت دوم با معادله ۴ تعریف می شود که در آن عمق برداشت رابطه مستقیم با مقادیر شاریدگی دارد.

۴- در بسیاری از موارد زیر آستانه کندن دوره نهفته شده وجود دارد و در مواردی دیگر این دوره وجود ندارد.

۵- وجود نواحی مخروطی در کاپتون عمدتاً به دلیل ناخالصیها و ذرات تهشیش شده است.

۶- برای محدود کردن گرمای ایجاد شده بهتر است که $\tau_p < \tau_c$ باشد.

- 15 Bishop G. and Dyer P.E.; *Appl. Phys. Lett.*; **47**, 1229, 1985.
- 16 Khosroshahi M.E., Ph.D Thesis, Hull University, Department of Applied Physics, Laser Group, 1993.
- 17 Dyer P.E. and Jenkins S.; *Appl. Phys. Lett.*; **49**, 453, 1986.
- 18 Dyer P.E. and Jenkins S.; *Appl. Phys. Lett.*; **52**, 1880, 1988.
- 19 Dyer P.E. and Srinivasan R.; *Appl. Phys. Lett.*; **48**, 445, 1986.
- 20 Srinivasan R.; *Appl. Phys. Lett.*; **58**, 2895, 1991.
- 21 Dyer P.E., Oldershaw J.; *Appl. Phys.*; **B48**, 489, 1989.
- 22 Dyer P.E., Khosroshahi M.E., Tuft S.; *Lasers Med. Sci.*; **7**, 331, 1992.
- 23 Dyer P.E., Khosroshahi M.E. and Tuft S.; *Appl. phys.*; **B56**, 84, 1993.
- 24 Zel'dovich Y. and Raizer Y.; *Physics of Shock Waves and High Temperature Hydrodynamics Phenomena*; Acadmics, New York, 1966.
- 25 Buxbaum L.H.; *Angew. Chem., Int. ed.*; **7**, 182, 1968
- 26 Bednas M.E. and Day M., et al.; *J. Appl. Polym. Sci.*; **26**, 277, 1981.
- Y.R. and Lee Y.T.; *Ann. Rev. Phys. Chem.*; **30**, 379, 1979.
- 6 Letokhov V.S.; *Appl. Phys.*; **B46**, 237, 1988.
- 7 Letokhov V.S., Nonlinear Laser Chemistry with Multiple Photon Excitation; *Springer Ser. Chem. Phys.*; **22**, 417, Springer, Berlin, Heidelberg, 1983.
- 8 Hinsta E.J., Wodtke A.M. and Lee Y.T.; *J. Phys. Chem.*; **92**, 5387, 1988.
- 9 Zhao Y., Hinsta E.J. and Lee Y.T.; *J. Phys. Chem.*; **88**, 801, 1988.
- 10 Kawai M., Tsuboi Y., Tanaka K., Tertani S. and Taya K.; *Proc. of the Symposium on Dry Process*; Nishizawa J., et al. (Eds.); The Electro Chemical Soc.; **87-8**, 310, 1988.
- 11 Brannon I.H. and Laukard J.R.; *Appl. Phys. Lett.*; **48**, 18, 1226, 1986.
- 12 Pola J., Vitek J., Polyakov Y.P. Guseinikov L.E., Matreycher P.M. Bashkirova S.A., Tlaskal J. and Mayer R.; *Appl. Organomet. Chem.*; **5**, 56, 1991.
- 13 Dyer P.E. and Sidhu J.; *Optics and Lasers in Eng.*; **6**, 67, 1985.
- 14 Dyer P.E. and Sidhu J.; *J. Appl. Phys.*; **64**, 4657, 1988.